

ности ( $i_1 - i_2$ ) полосы сравнительно высокого порядка ( $D$  велико) вертикальны и почти параллельны. Если же ребро двугранного угла горизонтально, то в поле зрения находятся горизонтальные полосы низкого порядка (в т. ч. пульевая), видные и в белом свете. Введение в один из пучков к.-л. прозрачного объекта, напр. пластиинки, изменяет ширину, порядок и ориентацию полос: пульевая полоса не горизонтальна и появляется при нек-рой промежуточной ориентации  $M_1$  и  $M_2$ ; при очень большой толщине этой пластиинки в белом свете можно видеть только очень узкие, почти вертикальные полосы, когда ребро угла между  $M_1$  и  $M_2$  почти вертикально.

Схема, аналогичная рис. 1, применяется в т. н. и интерферометре Маха — Цендера; отличие его от И. Р. состоит в том, что попарно параллельно устанавливаются  $M_1$ ,  $M_2$  и  $P_1$ ,  $P_2$ . При этом можно получить полосы разной толщины, если точно совместить изображения  $S'$  и  $S''$  источника света  $S$ , образованные в двух ветвях интерферометра (рис. 2). Полосы локализованы в плоскости этого изображения, равно как и в плоскости  $S'''$ , сопряжённой с  $S'$  через объектив  $O_2$ , где и ведётся наблюдение. Если в иучок лучей вблизи  $S'$  и  $S''$  поместить оптически неоднородную среду (напр., поток воздуха), то полосы изменят свою форму, наглядно показывая распределение показателя преломления в исследуемой среде. Ширина полос зависит от угла между  $M_1$  и  $P_1$ , увеличиваясь с его уменьшением. Если все зеркала и пластиинки параллельны, то в

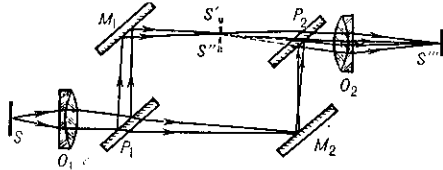


Рис. 2. Схема интерферометра Маха — Цендера.

отсутствие неоднородностей ширина полос бесконечна (интерференц. поле равномерно освещено). Введение неоднородностей приводит к появлению полос, форма к-рых соответствует кривым разных значений показателя преломления.

Особенности интерференц. картин в И. Р. и интерферометре Маха — Цендера делают их весьма чувствительными и интерференционными рефрактометрами. Их осн. преимущество по сравнению с интерферометрами Рэлея и Жамена состоит в большом расстоянии между ветвями интерферометра, что позволяет вносить в пучки лучей весьма большие объекты. И. Р. используется гл. обр. при изучении аномальной дисперсии (см. Дисперсия света). Интерферометр Маха — Цендера применяется для исследования воздушных потоков (напр., при обтекании моделей самолётов), ударных волн при взрывах и пр.

*Лит. см. при ст. Интерферометр.*

С. Г. Раутман.

**ИНТЕРФЕРОМЕТР РЭЛЕЯ** (интерференционный рефрактометр) — интерферометр для измерения показателя преломления, основанный на явлении дифракции света на двух параллельных щелях. Схема И. Р. представлена на рис. в вертикальной и горизонтальной проекциях. Ярко освещённая щель малой ширины  $S$  служит источником света, расположенным в фокальной плоскости объектива  $O_1$ . Параллельный пучок лучей, выходящий из  $O_1$ , проходит диафрагму  $D$  с двумя параллельными щелями и трубки  $R_1$  и  $R_2$ , в к-рые вводятся исследуемые газы или жидкости. Трубки имеют одинаковые длины и занимают только верх. половину пространства между  $O_1$  и объективом зрит. трубами  $O_2$ . В результате интерференции света, дифрагирующего на щелях диафрагмы  $D$ , в фокальной плоскости объектива  $O_2$  вместо изображения щели  $S$  образуются две системы интерференц. полос, схематически показанные на рис. Верх. система полос образуется лучами, проходящими через трубы  $R_1$  и  $R_2$ , а нижняя — лучами, идущими

мимо них. Интерференц. полосы наблюдаются с помощью короткофокусного цилиндрического окуляра  $O_3$ . В зависимости от разности показателей преломления  $n_1$  и  $n_2$  веществ, помещённых в  $R_1$  и  $R_2$ , верх. система полос будет смещена в ту или иную сторону. Измеряя величину этого смещения, можно вычислить  $n_1 - n_2$ . Ниж. система полос неподвижна, и от неё отсчитывают

Вид сверху

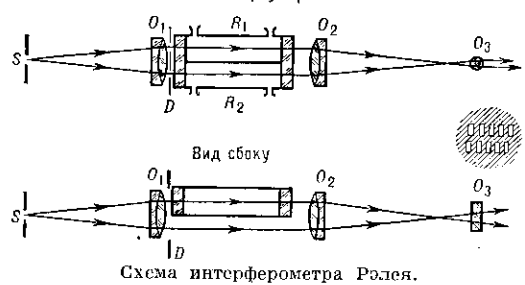


Схема интерферометра Рэлея.

перемещения верх. системы. При освещении щели  $S$  белым светом центр. полосы обеих интерференц. картин являются ахроматическими, а полосы, расположенные справа и слева от них, окрашены. Это облегчает обнаружение центр. полос.

Измерение перемещения верх. системы осуществляется применением компенсатора (см. Интерферометр Жамена), к-рый вводят между лучами, проходящими через  $R_1$  и  $R_2$ , дополнит разность фаз до совмещения верх. и ниж. систем полос. С помощью И. Р. достигается весьма высокая точность измерения до 7-го и даже 8-го десятичного знака. И. Р. применяется для обнаружения малых примесей в воздухе, в воде, для анализаrudничного и печеного газов и др. целей.

*Лит. см. при ст. Интерферометр.*

**ИНТЕРФЕРОМЕТР ФАБРИ — ПЕРО** — многолучевой интерференц. спектральный прибор с двумерной дисперсией, обладающий высокой разрешающей способностью. Используется как прибор с пространств. расположением излучения в спектр и фотогр. регистрацией и как сканирующий прибор с фотоэлектрической регистрацией. И. Ф.—П. представляет собой плоскопараллельный слой из оптически однородного прозрачного материала, ограниченный отражающими плоскостями. Наиболее широко применяемый воздушный И. Ф.—П. состоит из двух стеклянных или кварцевых пластинок, расположенных на нек-ром расстоянии  $d$  друг от друга

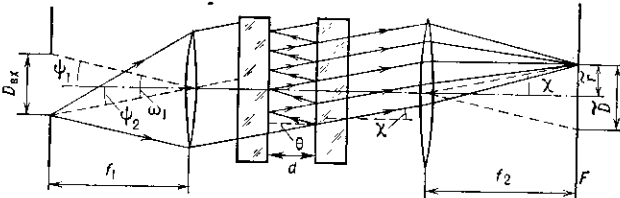


Рис. 1. Схема интерферометра Фабри—Перо.

(рис. 1). На обращённые друг к другу плоскости (изготовленные с точностью до 0,01 длины волны) нанесены высокоотражающие покрытия. И. Ф.—П. располагается между коллиматорами; в фокальной плоскости входного коллиматора устанавливается освещённая диафрагма, служащая источником света для И. Ф.—П. Плоская волна, падающая на И. Ф.—П., в результате многократных отражений от зеркал и частичного выхода после каждого отражения разбивается на большое число плоских когерентных волн, отличающихся по амплитуде и по фазе. Амплитуда когерентных волн убывает по закону геом. прогрессии, а разность хода между каждой соседней парой когерентных волн, идущих в данном направлении, постоянна и равна  $\Delta = 2dn \cos \theta$ , где  $n$  — показатель преломления среды между зеркалами (для воздуха  $n=1$ ),  $\theta$  — угол между лучом и пор-